

УДК 530.12:531.51

## КРУПНОМАСШТАБНАЯ СТРУКТУРА ВСЕЛЕННОЙ

В.В. Ласуков

Томский политехнический университет  
Тел.: (382-2)-56-37-29

В рамках классической теории гравитации найдены точные решения уравнений Лагранжа в метрике Логанова с неоднородным и не изотропным скалярным полем. Показано, что однородность метрики может сочетаться с неоднородностью и анизотропией скалярного поля, обладающего спиральной пространственной структурой в плоскости наблюдения.

Ранее в работах [1, 2] были рассмотрены модели Вселенной без сингулярностей, заполненной однородным, либо неоднородным изотропным скалярным полем.

В данной работе рассмотрим эволюцию заполненной неоднородным и не изотропным скалярным полем Вселенной

$$ds^2 = \alpha^2 dt^2 - \alpha^2 (dx^2 + dy^2 + dz^2) \quad (1)$$

здесь  $\alpha$  – масштабный фактор. Для метрики (1) уравнения Лагранжа выглядят следующим образом

$$\left( \frac{\alpha}{\alpha} \right) + \frac{1}{2} \left( \frac{\alpha}{\alpha} \right)^2 - 8 \pi G \alpha^2 \Phi = 0 \quad (2)$$

$$\Phi'' + 3 \frac{\alpha'}{\alpha} \Phi' - \alpha^{-2} \Delta \Phi = - \frac{8 \pi G}{\alpha^2} \Phi \quad (3)$$

$$\alpha' = \frac{\partial \alpha}{\partial t}, \quad \delta \tau = \alpha \delta \xi_0, \quad \Phi' = \frac{\partial \Phi}{\partial \tau}, \quad \Phi - \text{поле}$$

функции  $\Phi$  – потенциал скалярного поля,  $G$  – гравитационная постоянная,  $\Phi$  – потенциальная энергия скалярного поля.

Найдем частные решения системы уравнений (3, 4) для интересующего нас случая, что для него и только для него метрика остается однородной и изотропной. Нетрудно получить, что для такого потенциала различные частные решения системы уравнений (3, 4) имеют вид

$$\alpha = \alpha_0 \exp^{1/3}(\nu), \quad \Phi(\tau, \xi) = \Phi(\tau) + \Phi(\xi) \quad (4)$$

или  $\Phi(\tau, \xi) = \Phi(\tau)\Phi(\xi)$ , где  $\Phi(\tau), \Phi(\xi)$  удовлетворяют уравнениям

$$\begin{cases} \Phi''(\tau) + 3 \frac{\alpha'}{\alpha} \Phi'(\tau) = 0, \\ \Delta \Phi(\xi) = 0. \end{cases} \quad (5)$$

Решение первого уравнения системы (5) имеет вид [2]

$$\Phi(\tau) = C_1 \arctg(e^{-\nu}),$$

$\nu = \frac{1}{2} \ln \frac{1+\gamma}{1-\gamma}$  – постоянная, характеризующая скорость временной эволюции масштабного фактора и скалярного поля,  $C_1$  – константа интегрирования.

Так как наблюдаемая картина звездного неба является двумерной поверхностью, то второе уравнение системы (5) удобно исследовать в цилиндрической системе координат

$$c \frac{\partial}{\partial c} \left[ c \frac{\partial}{\partial c} \Phi \right] + \frac{\partial^2 \Phi}{\partial \varphi^2} + c^2 \frac{\partial^2 \Phi}{\partial \xi^2} = 0.$$

Уравнение (6) допускает частное решение вида

$$\Phi(c, \varphi, \xi) = A \ln(c) - B \varphi - C \xi, \quad (6)$$

где  $A, B, C$  – произвольные постоянные, определяемые краевыми условиями.

Для объяснения наблюдаемой крупномасштабной пространственной структуры Вселенной достаточно предположить, что “холстом” картины звездного неба является поверхность уровня

$$\Phi(c, \varphi, \xi) = C_0,$$

здесь  $C_0$  – произвольная постоянная. Тогда рисунок крупномасштабной структуры звездной картины образуют линии пересечения поверхности уровня (8) плоскостью наблюдения  $z = z_0$ , которые, согласно (7) и (8), являются логарифмическими спиралями

$$\rho = \rho_0 \exp \left[ \alpha \left( \frac{\psi}{\psi_{\max}} \right) \right],$$

$$\rho_0 \equiv \rho(0), \quad \alpha = \ln \left( \frac{\rho_{\max}}{\rho_0} \right), \quad \rho_{\max} \equiv \rho(\psi_{\max}), \quad (9)$$

где

$$\rho_{\max} > \rho_0, \quad \psi_{\max} > 0$$

$$\rho = \rho_0 \exp \left[ -\beta \left( \frac{\psi}{\psi_{\max}} \right) \right],$$

$$\rho_0 \equiv \rho(0), \quad \beta = \ln \left( \frac{\rho_0}{\rho_{\min}} \right), \quad \rho_{\min} \equiv \rho(\psi_{\max}), \quad \rho_0 > \rho_{\min} \quad (10)$$

здесь

Значения  $\rho_0$ ,  $\rho_{\min}$ ,  $\rho_{\max}$ ,  $\psi_{\max}$  могут быть найдены из наблюдений.

Если предположить, что в различных пространственно-временных областях постоянная составляющая скалярного потенциала  $U_0$  различна, то компоненты скалярного поля  $\Phi(\psi) = C_1 \arctg \left( e^{-\psi} \right)$  время жизни  $\tau \approx v^{-1}$  крупномасштабных структур имеет наибольшее значение в тех областях, где  $U_0$  принимает наименьшее значение.

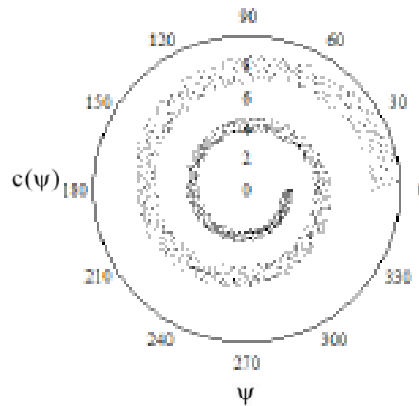
Для наглядности проиллюстрируем качественную картину, которую порождает пучок спиралей (10). Для имитации пучка спиралей достаточно предположить, что лишь начальное значение  $\rho_0$  является случайной величиной, а  $\psi_{\max}$  имеет фиксированное значение. Тогда, например, скручивающаяся спираль (10) при

$$c_0 = 4 [\text{rnd}(0, 5) + 2], \quad v = 0, 1,$$

(здесь конкретные числовые значения носят иллюстративный характер) дает следующую качественную картину.

Здесь  $\text{rnd}(x)$  – генератор случайных чисел, равномерно распределенных на отрезке  $[0, x]$ . Существуют также решен

$$\Phi(c, \psi) = \frac{\cos(\psi)}{c} - x \zeta,$$



которые образуют шаровые и другие пространственные структуры, образованные пучком конхонд

$$\Phi(c, \psi) = c \cos(\psi) - x \zeta,$$

или пучком лемнискат Бернулли

$$\Phi(c, \psi) = \frac{\cos(2\psi)}{c^2} - x \zeta.$$

Найденные решения позволяют сделать следующий вывод:

Если предположить, что крупномасштабные структуры Вселенной могут возникать там, где скалярное поле является постоянной величиной, то видимые в плоскости наблюдения крупномасштабные спиральные структуры Вселенной могут возникать вследствие неоднородности скалярного поля на поверхностях уровня, что может служить основой для решения проблемы крупномасштабной структуры Вселенной вне рамок теории гравитационной неустойчивости [4].

#### СПИСОК ЛИТЕРАТУРЫ

1. Ласуков В.В. Вселенная в метрике Логанова // Известия вузов. Физика. – 2002. – № 2. – С. 39–42.
2. Ласуков В.В. Вселенная в метрике Логанова с неоднородным скалярным полем // Известия вузов. Физика. – 2002. – № 8. – С. 91–92.
3. Логанов А.А., Мествиришвили М.А. Релятивистская теория гравитации. – М.: Наука, 1989. – 302 с.
4. Зельдович Я.Б., Новиков И.Д. Строение и эволюция Вселенной. – М.: Наука, 1975. – 450 с.